

応用電力変換工学

舟木剛

第12回 ソフトスイッチング 共振形コンバータ

2008年12月17日

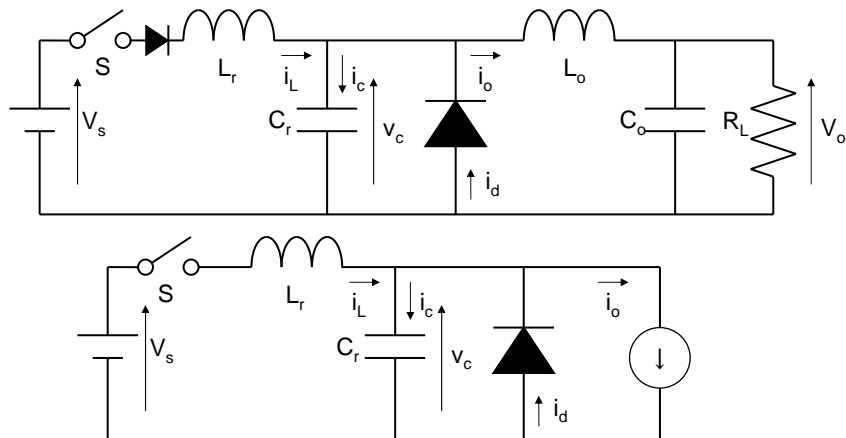
ソフトスイッチング

- ソフトスイッチング
 - スイッチの状態遷移(スイッチング)条件
 - 印加電圧(順方向阻止)が0の状態でターンオン(ZVS)
 - 通流電流が0の状態でターンオフ(ZCS)
 - スイッチング損失が低減
 - 状態遷移中の電圧・電流積が0
 - 種類
 - 共振スイッチコンバータ
 - 負荷共振コンバータ
 - 共振dcリンクコンバータ

ゼロ電流スイッチング(ZCS)

共振形コンバータ

- LCの共振により、ソフトスイッチング(ZCS)を実現



2008/12/17

応用電力変換工学

3

ゼロ電流スイッチング(ZCS)

共振形コンバータ

- 回路条件

- 回路の基本構成はBuckコンバータ
- 入力側LC共振回路
 - インダクタ L_r
 - コンデンサ C_r
- 出力インダクタンス L_o が大きい
 - 出力電流 I_o のリップル少ない
 - $I_o \approx \text{一定}$
 - $L_o \gg L_r$
 - 損失無視

2008/12/17

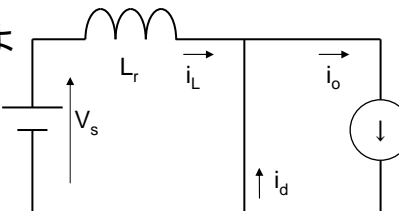
応用電力変換工学

4

ゼロ電流スイッチング(ZCS) 共振形コンバータの周期定常状態の動作

– 直前

- 負荷電流 i_o がダイオードを環流($v_c=0$)
- スイッチON($t=0$)
 - 電源電流 i_L は共振用 L_r により、ゆっくり立ち上がる(ダイオードONのまま)
 - $i_L < i_o$ の間、ダイオードに電流が流れる
 - $i_L = i_o$ で、ダイオードがOFF($t=t_1$)



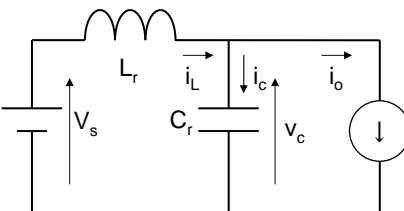
2008/12/17

応用電力変換工学

5

ゼロ電流スイッチング(ZCS) 共振形コンバータの周期定常状態の動作

- スイッチON, ダイオードOFF($t \geq t_1$)
 - 出力電流 i_o 一定(L_o が大)
 - $i_c = i_L - i_o$ が C_r を充電
 - v_c の上昇と共に i_L が減少
 » コンデンサ電圧 v_c が、ダイオードを逆バイアス
 - $i_L = 0$ でスイッチが電流を流さなくなる。(バイポーラ素子)。スイッチ非導通($t=t_2$)



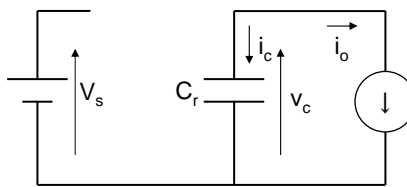
2008/12/17

応用電力変換工学

6

ゼロ電流スイッチング(ZCS) 共振形コンバータの周期定常状態の動作

- ダイオードOFF($t \geq t_2$)
 - 出力電流 i_o 一定(L_o が大)
 - $i_c = -i_o$ が C_r を放電
 - v_c が減少
 - » コンデンサ電圧 v_c が、ダイオードを逆バイアス
 - コンデンサ C_r 電圧 $v_c > 0$ の間にスイッチOFF
 - 非導通からOFFへ
 - スイッチング損失無し
($i_L = 0$:ZCS)
 - $v_c = 0$ でダイオードがON。
($t = t_3$)



2008/12/17

応用電力変換工学

7

ゼロ電流スイッチング(ZCS) 共振形コンバータの周期定常状態の動作

- スイッチOFF, ダイオードON($t > t_3$)
 - $i_d = i_o$



2008/12/17

応用電力変換工学

8

ゼロ電流スイッチング(ZCS) 共振形コンバータの周期定常状態の動作

- 動作区間

- | | |
|-----------------------|------------------------------|
| - $0 \leq t \leq t_1$ | スイッチON
ダイオードON |
| - $t_1 < t \leq t_2$ | スイッチON
ダイオードOFF |
| - $t_2 < t \leq t_3$ | スイッチ非導通→OFF(ZCS)
ダイオードOFF |
| - $t_3 < t < T$ | スイッチOFF
ダイオードON |

2008/12/17

応用電力変換工学

9

ゼロ電流スイッチング(ZCS) 共振形コンバータ

- 動作区間 $0 \leq t \leq t_1$

- L_r の電流 i_L

- 初期値 $i_L(t=0)=0$
 - 電源電圧 V_s

$$i_L(t) = \frac{1}{L_r} \int_0^t V_s dt = \frac{V_s t}{L_r}$$

$$i_L(t_1) = \frac{V_s t_1}{L_r} = I_o$$

$$t_1 = \frac{L_r I_o}{V_s}$$

2008/12/17

応用電力変換工学

10

ゼロ電流スイッチング(ZCS) 共振形コンバータ

- 動作区間 $t_1 \leq t \leq t_2$
 - 初期値 $v_c(t=t_1)=0$

$$v_c(t) = V_s - L_r \frac{di_L(t)}{dt}$$

$$i_c(t) = i_L(t) - I_o$$

$$C_r \frac{dv_c(t)}{dt} = i_c(t)$$

$$\begin{aligned} V_c &= \frac{V_s}{s} - L_r \left(sI_L - I_{L(t_1)} \right) \\ &= \frac{V_s}{s} - L_r \left(sI_L - I_o \right) \end{aligned}$$

$$\begin{aligned} I_C &= I_L - \frac{I_o}{s} \\ I_L &= I_C + \frac{I_o}{s} \end{aligned}$$

$$C_r(sV_c - V_{c(t_1)}) =$$

$$C_r s V_c = I_c$$

2008/12/17

応用電力変換工学

11

ゼロ電流スイッチング(ZCS) 共振形コンバータ

- 動作区間 $t_1 \leq t \leq t_2$

$$V_c = \frac{V_s}{s} - L_r \left[s \left(I_C + \frac{I_o}{s} \right) - I_o \right]$$

$$= \frac{V_s}{s} - L_r [sI_C + I_o - I_o]$$

$$= \frac{V_s}{s} - L_r s I_C$$

$$C_r s V_c = I_c$$

$$I_c = C_r s \left(\frac{V_s}{s} - L_r s I_c \right)$$

$$2008/12/17 = C_r (V_s - L_r s^2 I_c)$$

$$\begin{aligned} I_c &= C_r V_s \frac{1}{1 + L_r C_r s^2} \\ &= C_r V_s \sqrt{\frac{1}{L_r C_r}} \frac{\sqrt{\frac{1}{L_r C_r}}}{\frac{1}{L_r C_r} + s^2} \\ &= V_s \sqrt{\frac{C_r}{L_r}} \frac{\sqrt{\frac{1}{L_r C_r}}}{\frac{1}{L_r C_r} + s^2} \end{aligned}$$

$$i_c(t+t_1) = V_s \sqrt{\frac{C_r}{L_r}} \sin \sqrt{\frac{1}{L_r C_r}} t$$

応用電力変換工学

12

ゼロ電流スイッチング(ZCS) 共振形コンバータ

- 動作区間 $t_1 \leq t \leq t_2$
 - 各部の電圧・電流

$$i_c(t) = V_s \sqrt{\frac{C_r}{L_r}} \sin \sqrt{\frac{1}{L_r C_r}} (t - t_1)$$

$$\begin{aligned} i_L(t) &= I_o + i_c(t) \\ &= I_o + V_s \sqrt{\frac{C_r}{L_r}} \sin \sqrt{\frac{1}{L_r C_r}} (t - t_1) \end{aligned}$$

$$v_c(t) = V_s \left[1 - \cos \sqrt{\frac{1}{L_r C_r}} (t - t_1) \right]$$

2008/12/17

応用電力変換工学

13

ゼロ電流スイッチング(ZCS) 共振形コンバータ

- 動作区間 $t_1 \leq t \leq t_2$
 - t_2 を求める

$$i_L(t_2) = I_o + V_s \sqrt{\frac{C_r}{L_r}} \sin \sqrt{\frac{1}{L_r C_r}} (t_2 - t_1)$$

$$\begin{aligned} &= 0 \\ V_s \sqrt{\frac{C_r}{L_r}} \sin \sqrt{\frac{1}{L_r C_r}} (t_2 - t_1) &= -I_o \end{aligned}$$

$$\sin \sqrt{\frac{1}{L_r C_r}} (t_2 - t_1) = -\frac{I_o}{V_s} \sqrt{\frac{L_r}{C_r}} \quad t_2 = t_1 + \sqrt{L_r C_r} \sin^{-1} \left(-\frac{I_o}{V_s} \sqrt{\frac{L_r}{C_r}} \right)$$

2008/12/17

応用電力変換工学

14

ゼロ電流スイッチング(ZCS) 共振形コンバータ

- 動作区間 $t_2 \leq t \leq t_3$
 - コンデンサ C_r が $-I_o$ で放電

$$\begin{aligned}
 v_c(t) &= \frac{1}{C_r} \int_{t_2}^t i_c dt + v_c(t_2) & -\frac{I_o}{C_r}(t_3 - t_2) + v_c(t_2) &= 0 \\
 &= \frac{1}{C_r} \int_{t_2}^t -I_o dt + v_c(t_2) & t_3 &= t_2 + \frac{C_r}{I_o} v_c(t_2) \\
 &= -\frac{I_o}{C_r}(t - t_2) + v_c(t_2) & \text{↑} & \text{T3は負荷に依存}
 \end{aligned}$$

- T3でコンデンサの電圧が0

$$v_c(t_3) = 0$$

2008/12/17 応用電力変換工学

15

ゼロ電流スイッチング(ZCS) 共振形コンバータ

- 動作区間 $t_3 \leq t < T$
 - インダクタ電流
 - スイッチOFF
 $i_L = 0$
 - コンデンサ
 - 電圧はダイオード導通中のため
 $v_c = 0$
 - 電流は、出力電圧と同じ

$$i_d = -I_o$$

2008/12/17

応用電力変換工学

16

ゼロ電流スイッチング(ZCS) 共振形コンバータ

- 出力電圧

– 出力エネルギー W_o と入力エネルギー W_s の関係

$$W_o = \int_0^T V_o I_o dt$$

$$= V_o I_o T$$

$$W_s = \int_0^T V_s i_L dt$$

$$= V_s \int_0^{t1} \frac{V_s t}{L_r} dt + V_s \int_{t1}^{t2} \left[I_o + V_s \sqrt{\frac{C_r}{L_r}} \sin \sqrt{\frac{1}{L_r C_r}} (t - t1) \right] dt$$

$$= V_s \left\{ \frac{V_s}{2L_r} t1^2 + I_o (t2 - t1) - V_s C_r \left[\cos \sqrt{\frac{1}{L_r C_r}} (t2 - t1) - 1 \right] \right\}_{17}$$

2008/12/17

応用電力変換工学

ゼロ電流スイッチング(ZCS) 共振形コンバータ

- 出力電圧

$$\begin{aligned} W_o &= W_s \\ V_o I_o T &= V_s \left\{ \frac{V_s}{2L_r} t1^2 + I_o (t2 - t1) - V_s C_r \left[\cos \sqrt{\frac{1}{L_r C_r}} (t2 - t1) - 1 \right] \right\} \\ V_o &= \frac{V_s}{I_o T} \left\{ \frac{V_s}{2L_r} t1^2 + I_o (t2 - t1) - V_s C_r \left[\cos \sqrt{\frac{1}{L_r C_r}} (t2 - t1) - 1 \right] \right\} \\ &= \frac{V_s}{T} \left\{ \frac{V_s}{I_o 2L_r} t1^2 + (t2 - t1) - \frac{1}{I_o} V_s C_r \left[\cos \sqrt{\frac{1}{L_r C_r}} (t2 - t1) - 1 \right] \right\} \end{aligned}$$

2008/12/17

応用電力変換工学

18

ゼロ電流スイッチング(ZCS) 共振形コンバータ

- 出力電圧

$$I_o = \frac{C_r}{t_3 - t_2} v_c(t_2)$$

$$= \frac{C_r}{t_3 - t_2} V_s \left[1 - \cos \sqrt{\frac{1}{L_r C_r}} (t_2 - t_1) \right]$$

$$V_o = \frac{V_s}{T} \left\{ \frac{V_s}{2L_r} t_1^2 \frac{t_3 - t_2}{C_r \left[1 - \cos \sqrt{\frac{1}{L_r C_r}} (t_2 - t_1) \right]} + (t_2 - t_1) + V_s (t_3 - t_2) \right\}$$

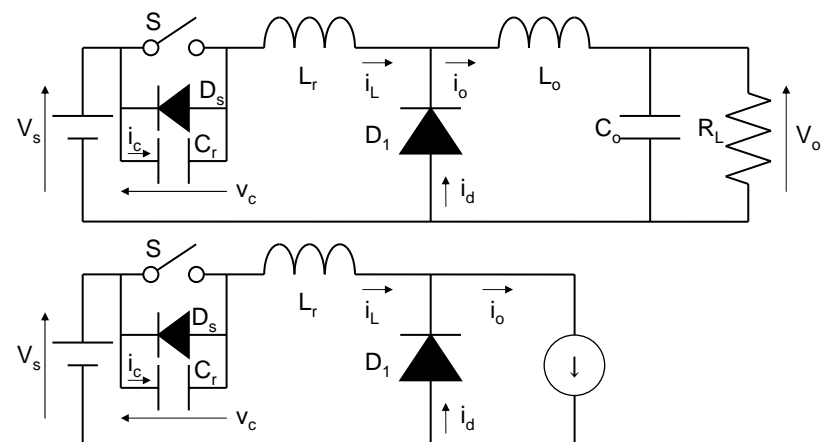
2008/12/17

応用電力変換工学

19

ゼロ電圧スイッチング(ZVS) 共振形コンバータ

- LCの共振により、ソフトスイッチング(ZVS)を実現



2008/12/17

応用電力変換工学

20

ゼロ電圧スイッチング(ZVS) 共振形コンバータ

- 回路条件

- 回路の基本構成はBuckコンバータ
- 入力側直列LC共振回路
 - インダクタ L_r
 - コンデンサ C_r
 - スイッチの逆並列ダイオード(MOSFET)
- 出力インダクタンス L_o が大きい
 - 出力電流 i_o のリップルが少ない。
 - $i_o \approx \text{一定}$
 - $L_o \gg L_r$
 - 損失無視

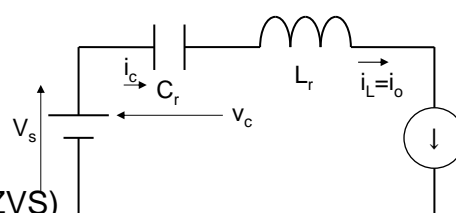
2008/12/17

応用電力変換工学

21

ゼロ電圧スイッチング(ZVS) 共振形コンバータの周期定常状態動作

- 直前($t < 0$)
 - スイッチON。
 - (電源からエネルギー供給)
 - D_s オフ(電流0)
 - 電圧 $v_c = 0$
 - D_i オフ(電流0)
 - スイッチOFF($t = 0$)
 - この時スイッチ電圧 $v_c = 0$ (ZVS)
 - C_r 経由で $i_L = i_o$ となる
 - i_L が C_r を充電
 - 電圧 v_c が時間比例で上昇



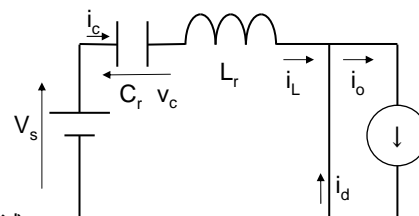
2008/12/17

応用電力変換工学

22

ゼロ電圧スイッチング(ZVS) 共振形コンバータの周期定常状態動作

- D_1 がON($t=t_1$)
 - $v_c=v_s$ となった時点で D_1 がONする
 - $i_L=i_o$ 一定より $V_{Lr}=0$
 - D_1 がONの状態($t \geq t_1$)
 - 電源側
 - C_r と L_r の直列共振回路形成
 - » i_L 減少開始
(負になってもOK)
 - » v_c は上昇するがピーク後減少開始する
 - 負荷側
 - D_1 経由で電流 i_o 一定



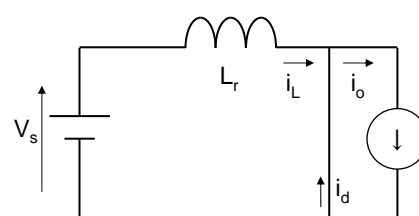
2008/12/17

応用電力変換工学

23

ゼロ電圧スイッチング(ZVS) 共振形コンバータの周期定常状態動作

- D_S がONする($t=t_2$)
 - $v_c=0$ となった時点
 - C_r と L_r の共振
 - 以降 D_S がON
 - $v_c=0$
 - $i_L < 0$ を流す
 - V_s が L_r に印加($t \geq t_2$)
 - i_L が時間比例で増加
 - D_S のON中にSをONする
 - スイッチ電圧0(ZVS)
 - D_S がONなので影響無し
 - i_L 負のピークで再び増加に転じる



2008/12/17

応用電力変換工学

24

ゼロ電圧スイッチング(ZVS) 共振形コンバータの周期定常状態動作

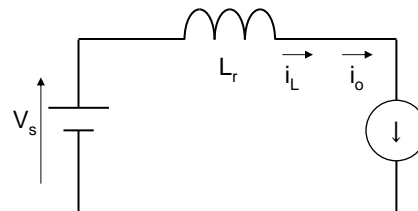
- D_S がOFFする($t=t_3$)

– $I_d = I_o$ となつた時点

• D_S がOFF

• I_L はSを流れる

– D_1 がOFFするまで継続
($t=T$)



2008/12/17

応用電力変換工学

25

ゼロ電圧スイッチング(ZVS) 共振形コンバータの周期定常状態動作

- 動作区間

– $0 \leq t \leq t_1$ スイッチOFF D_1 OFF D_S OFF

– $t_1 < t \leq t_2$ スイッチOFF D_1 ON D_S OFF

– $t_2 < t \leq t_3$ スイッチ導通 D_1 ON D_S ON

– $t_3 < t \leq T$ スイッチON D_1 ON D_S OFF

2008/12/17

応用電力変換工学

26

ゼロ電圧スイッチング(ZVS) 共振形コンバータ

- 動作区間 $0 \leq t \leq t_1$

– L_r の電流 i_L

- 初期値 $i_L = I_o, v_c = 0$

- 電源電圧 V_s

- 条件 $i_C = i_L = I_o$

- $v_c = V_s$ となる時点が t_1

$$v_c(t) = \frac{1}{C_r} \int_0^t I_o dt = \frac{I_o t}{C_r}$$

$$\frac{I_o t_1}{C_r} = V_s$$

$$t_1 = \frac{C_r}{I_o} V_s$$

2008/12/17

応用電力変換工学

27

ゼロ電圧スイッチング(ZVS) 共振形コンバータ

- 動作区間 $t_1 \leq t \leq t_2$

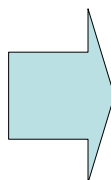
– 初期値 $v_{c0} = V_s, i_{L0} = I_o$

$$V_s = v_c(t) + L_r \frac{di_L(t)}{dt}$$

$$V_c = \frac{V_s}{s} - L_r (sI_L - I_{L0})$$

$$= \frac{V_s}{s} - L_r (sI_L - I_o)$$

$$i_c(t) = C_r \frac{dv_c(t)}{dt} = i_L(t)$$



$$C_r (sV_c - V_{c0}) =$$

$$C_r (sV_c - V_s) = I_L$$

2008/12/17

応用電力変換工学

28

ゼロ電圧スイッチング(ZVS) 共振形コンバータ

- 動作区間 $t_1 \leq t \leq t_2$

$$I_L = C_r(sV_c - V_s)$$

$$= C_r \left(s \left[\frac{V_s}{s} - L_r(sI_L - I_o) \right] - V_s \right)$$

$$= -sL_rC_r(sI_L - I_o)$$



$$I_L(1 + s^2 L_r C_r) = sL_r C_r I_o$$

$$I_L = \frac{sL_r C_r I_o}{1 + s^2 L_r C_r}$$

$$= \frac{sI_o}{\frac{1}{L_r C_r} + s^2}$$

$$i_L(t) = I_o \cos \sqrt{\frac{1}{L_r C_r}} t$$

2008/12/17

応用電力変換工学

29

ゼロ電圧スイッチング(ZVS) 共振形コンバータ

- 動作区間 $t_1 \leq t \leq t_2$

– 各部の電圧・電流

- 時間軸を t_1 に合せて

$$i_L(t) = I_o \cos \sqrt{\frac{1}{L_r C_r}} (t - t_1)$$

$$v_c(t) = V_s - L_r \frac{di_L(t)}{dt}$$

$$= V_s + L_r I_o \sqrt{\frac{1}{L_r C_r}} \sin \sqrt{\frac{1}{L_r C_r}} (t - t_1)$$

$$= V_s + I_o \sqrt{\frac{L_r}{C_r}} \sin \sqrt{\frac{1}{L_r C_r}} (t - t_1)$$

2008/12/17

応用電力変換工学

30

ゼロ電圧スイッチング(ZVS) 共振形コンバータ

- 動作区間 $t_1 \leq t \leq t_2$

– t_2 を求める($v_c=0$)

$$v_c(t_2) = V_s + I_o \sqrt{\frac{L_r}{C_r}} \sin \sqrt{\frac{1}{L_r C_r}} (t_2 - t_1) \\ = 0$$

$$I_o \sqrt{\frac{L_r}{C_r}} \sin \sqrt{\frac{1}{L_r C_r}} (t_2 - t_1) = -V_s$$

$$\sin \sqrt{\frac{1}{L_r C_r}} (t_2 - t_1) = -\frac{V_s}{I_o} \sqrt{\frac{C_r}{L_r}} \quad t_2 = \sqrt{L_r C_r} \sin^{-1} \left(-\frac{V_s}{I_o} \sqrt{\frac{C_r}{L_r}} \right) + t_1$$

2008/12/17

応用電力変換工学

31

ゼロ電圧スイッチング(ZVS) 共振形コンバータ

- 動作区間 $t_2 \leq t \leq t_3$

– リアクトル L_r が電源電圧 V_s で充電

$$i_L(t) = \frac{1}{L_r} \int_{t_2}^t V_s dt + i_L(t_2) \\ = \frac{1}{L_r} V_s (t - t_2) + I_o \cos \sqrt{\frac{1}{L_r C_r}} (t_2 - t_1)$$

– T3でリアクトル電流が I_o

$$i_L(t_3) = \frac{1}{L_r} V_s (t_3 - t_2) + I_o \cos \sqrt{\frac{1}{L_r C_r}} (t_2 - t_1) = 0$$

2008/12/17

応用電力変換工学

32

ゼロ電圧スイッチング(ZVS) 共振形コンバータ

$$\frac{1}{L_r} V_s (t_3 - t_2) = -I_o \cos \sqrt{\frac{1}{L_r C_r}} (t_2 - t_1) \quad t_3 = -\frac{L_r}{V_s} I_o \cos \sqrt{\frac{1}{L_r C_r}} (t_2 - t_1) + t_2$$

- 動作区間 $t_3 \leqq t \leqq t_4$

– インダクタ電流

- スイッチON
 $i_L = I_o$

– インダクタ電圧

- 電流が一定値のため

$$v_L = 0$$

2008/12/17

応用電力変換工学

33

ゼロ電圧スイッチング(ZVS) 共振形コンバータ

- 出力電圧

– 環流ダイオードの印加電圧 v_x

- $0 \leqq t \leqq t_1$ $v_x(t) = V_s - \frac{I_o t}{C_r} = V_s \left[1 - \frac{t}{t_1} \right]$

- $t_1 \leqq t < t_2$ $v_x(t) = 0$

- $t_2 \leqq t < t_3$ $v_x(t) = 0$

- $t_3 \leqq t < T$ $v_x(t) = V_s$

2008/12/17

応用電力変換工学

34

ゼロ電圧スイッチング(ZVS) 共振形コンバータ

- 出力電圧

- L_o の平均電圧は0となる

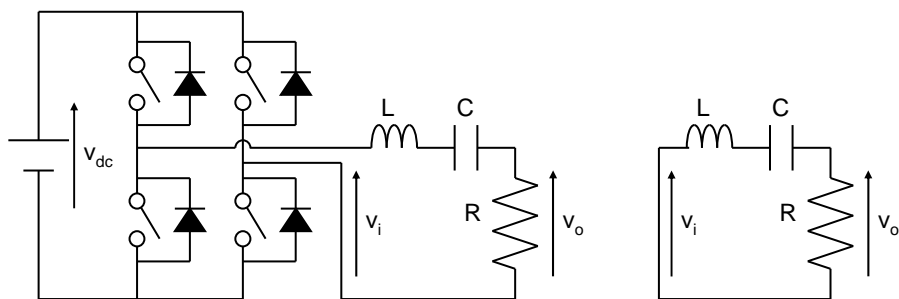
$$\begin{aligned}
 V_o &= \frac{1}{T} \int_0^T v_x dt \\
 &= \frac{1}{T} \left[\int_0^{t_1} V_s \left(1 - \frac{t}{t_1} \right) dt + \int_{t_3}^T V_s dt \right] \\
 &= \frac{V_s}{T} \left\{ \left[t - \frac{t^2}{2t_1} \right]_0^{t_1} + [t]_{t_3}^T \right\} \\
 &= \frac{V_s}{T} \left\{ \frac{t_1}{2} + T - t_3 \right\}
 \end{aligned}$$

2008/12/17

35

直列共振形コンバータ

- 直列共振インバータ部



2008/12/17

応用電力変換工学

36

直列共振形コンバータ -インバータ部-

- 直列共振インバータ部
 - 負荷に対して、直列共振部(LC)を插入
 - インバータ部は、矩形波電圧を出力
 - 共振部によりバンドパスフィルタされた出力となる
 - LC部の共振周波数を、スイッチング周波数に設定

2008/12/17

応用電力変換工学

37

直列共振形コンバータ -インバータ部-

- 回路条件
 - RLC回路の回路方程式

$$\begin{cases} V_s = \left(j\omega L + \frac{1}{j\omega C} + R \right) I \\ V_o = RI \end{cases} \quad \rightarrow \quad V_s = \left(j\omega L + \frac{1}{j\omega C} + R \right) \frac{V_o}{R}$$

- 入出力電圧の比

- 実数化して

$$\frac{V_o}{V_s} = \frac{R}{j\omega L + \frac{1}{j\omega C} + R} = \frac{R}{R + j\left(\omega L - \frac{1}{\omega C}\right)}$$

$$\left| \frac{V_o}{V_s} \right| = \sqrt{\frac{R^2}{R^2 + \left(\omega L - \frac{1}{\omega C}\right)^2}} = \frac{1}{\sqrt{1 + \left(\frac{\omega L}{R} - \frac{1}{\omega CR}\right)^2}}$$

2008/12/17

応用電力変換工学

38

直列共振形コンバータ

-インバータ部-

- 共振条件

- 虚数部が0 $j\omega_0 L + \frac{1}{j\omega_0 C} = 0 \rightarrow \omega_0 = \frac{1}{\sqrt{LC}}$

- LC共振部がフィルタとして動作

- 矩形波に含まれる共振周波数成分

$$V_1 = \frac{1}{\pi} \left(\int_{-\pi}^0 -V_{dc} \sin x dx + \int_0^\pi V_{dc} \sin x dx \right) = \frac{4V_{dc}}{\pi}$$

- 共振回路部のフィルタ特性

- 負荷が大きい方が(Rが小)フィルタ特性が良い $Q = \frac{\omega L}{R} = \frac{1}{\omega CR}$

- 共振周波数付近でスイッチングすることによる損失低減

- 共振による電流零点生成

- 周波数制御による、出力電圧制御

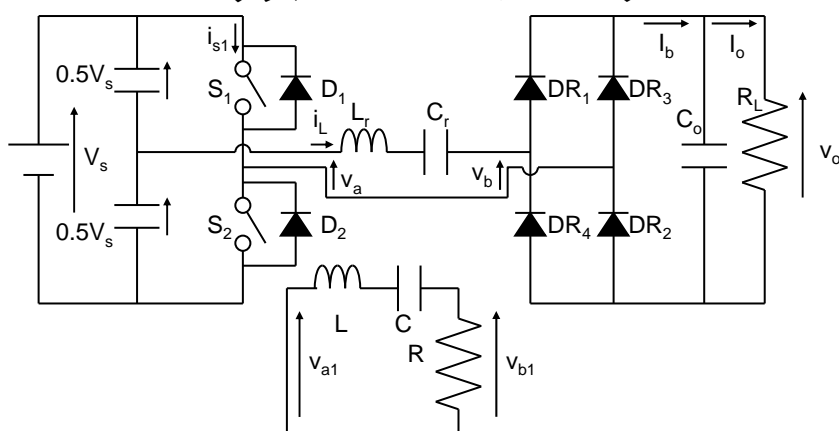
2008/12/17

応用電力変換工学

39

直列共振形コンバータ

- ハーフブリッジDC-DCコンバータ



2008/12/17

応用電力変換工学

40

直列共振形コンバータ -DC-DCコンバータ-

- 回路構成
 - ハーフブリッジインバータ
 - 全波整流回路
- 直列共振部でインバータと整流回路を接続
- インバータ部は、矩形波電圧を出力
- LC部でインバータ出力がフィルタされる
- スイッチング周波数で、出力制御

2008/12/17

応用電力変換工学

41

直列共振形コンバータ

- 直列共振DC-DCコンバータの出力制御
 - $\omega_s > \omega_0$ の時
(スイッチング周波数が共振周波数より高い場合)
 - ターンオンZVS
 - ターンオフ=ZCS(零ではない)
- 回路条件
 - インバータ部出力電圧と、整流器部電圧の関係
 - インバータ部出力電圧 V_a 基本波成分(電源電圧 V_s)
$$V_a = \frac{1}{\pi} \left(\int_{-\pi}^0 -V_s \sin x dx + \int_0^\pi V_s \sin x dx \right) = \frac{4V_s}{\pi}$$
 - 整流器部交流電圧 V_b 基本波成分(直流電圧は V_0 で一定とする)
$$V_b = \frac{1}{\pi} \left(\int_{-\pi}^0 -V_0 \sin x dx + \int_0^\pi V_0 \sin x dx \right) = \frac{4V_0}{\pi}$$

2008/12/17

応用電力変換工学

42

直列共振形コンバータ

- 回路条件

- インバータ部出力電圧と、整流器部電圧の関係

- 直列共振部の電流が正弦波(振幅IL)

- 直流出力電流平均値Io

$$I_O = \frac{1}{\pi} \left(\int_0^\pi I_L \sin x dx \right) = \frac{2I_L}{\pi}$$

- 共振回路側から整流回路を見た実効抵抗Re

- 整流回路部交流電流IL・電圧Vb振幅(共振周波数)

$$R_e = \frac{V_b}{I_L} = \frac{\frac{4V_o}{\pi}}{\frac{\pi I_o}{2}} = \frac{8}{\pi^2} \frac{V_o}{I_o} = \frac{8}{\pi^2} R_L$$

2008/12/17

応用電力変換工学

43

直列共振形コンバータ

- 整流器の実効抵抗Reに対する回路方程式

- RLC回路の回路方程式

- インバータ部Va(交流回路)

- 整流器部Vb(直流回路)

- 入出力電圧の比

- 実数化して

$$\left| \frac{V_o}{V_s} \right| = \sqrt{\frac{R_e}{R_e^2 + \left(\omega L - \frac{1}{\omega C} \right)^2}} = \sqrt{\frac{1}{1 + \left(\frac{\omega L}{R_e} - \frac{1}{\omega C R_e} \right)^2}}$$

- ω を変えることで変換比が変わる

- Qが変わっても、最大の電圧比は1

- 負荷が0となると出力電圧が制御できない

2008/12/17

応用電力変換工学

44

直列共振形コンバータ

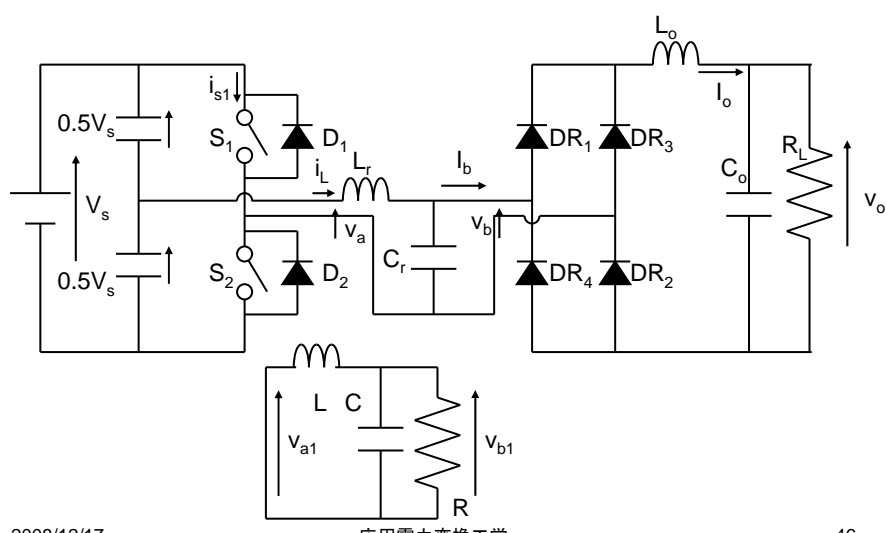
- 直列共振DC-DCコンバータの出力制御
スイッチング周波数が共振周波数より低い場合
 - $\omega_0/2 < \omega_s < \omega_0$ の時
 - ターンオン時
 - 順方向電圧・電流によるスイッチング損失
 - » 反対アームのダイオード電流を転流
 - ターンオフ時
 - 逆方向(ダイオード)電流となり, ZCS
 - $\omega_s < \omega_0/2$ のとき
 - スイッチオン周期の間に、共振波形が一周期以上
 - ターンオン・オフ共にZCS化可能
 - » 但し、不連続導通

2008/12/17

応用電力変換工学

45

並列共振形コンバータ



2008/12/17

応用電力変換工学

46

並列共振形コンバータ

- 直列共振コンバタ回路図(全体)
 - 共振部のコンデンサCrを並列接続
 - Crの充電電圧極性で整流回路動作が決まる
 - 直流負荷側にリアクトルを挿入
 - 負荷電流を一定Ioに保つ(定電流出力)
 - 直列共振型は定電圧
 - 整流器部の入力
 - ±Ioの矩形波電流
 - 共振コンデンサ電圧
 - 共振周波数の正弦波電圧
 - 直流出力電圧を決定

2008/12/17

応用電力変換工学

47

並列共振形コンバータ

- 入出力の関係
 - 整流器負荷
 - 等価な交流抵抗Reとする
 - スイッチング周波数(ω)≒共振周波数において
 - インバータ部はスイッチング周波数成分(V_{a1})のみを考える

$$V_{a1} = \frac{2}{\pi} \int_0^{\pi} V_s \sin x dx = \frac{4V_s}{\pi}$$

- 共振部
 - 共振部のインピーダンス

$$X_L = \omega L_r, X_C = \frac{1}{\omega C_r}$$

- 共振コンデンサ部の正弦波電圧 V_{b1}
- 共振電流 I_{b1}
 - (スイッチング角周波数 ω)

2008/12/17

応用電力変換工学

48

並列共振形コンバータ

- 共振部の回路方程式(交流回路)

- 共振Lでの電圧降下

$$V_{b1} = V_{a1} - jX_L I_{a1}$$

- 共振Cと負荷抵抗Reは並列

$$V_{b1} = \frac{1}{\frac{1}{-jX_C} + \frac{1}{R_e}} I_{a1}$$

- 入出力電圧比

$$V_{b1} = V_{a1} - jX_L V_{b1} \left(\frac{1}{-jX_C} + \frac{1}{R_e} \right)$$

$$V_{b1} \left(1 - \frac{X_L}{X_C} + j \frac{X_L}{R_e} \right) = V_{a1}$$

2008/12/17

応用電力変換工学

49

並列共振形コンバータ

- 回路条件

- 交流部等価回路

- 共振入力部と出力部の電圧比

$$\left| \frac{V_{b1}}{V_{a1}} \right| = \left| \frac{1}{1 - \frac{X_L}{X_C} + j \frac{X_L}{R_e}} \right|$$

- 直流出力電圧Voと共振出力部電圧Vb1との関係

$$V_o = \frac{1}{\pi} \int_0^\pi V_{b1} \sin x dx = \frac{V_{b1}}{\pi} [\cos x]_0^\pi = \frac{2V_{b1}}{\pi}$$

- 直流出力電流Ioと共振出力部電流Ib1との関係

$$I_{b1} = \frac{2}{\pi} \int_0^\pi I_o \sin x dx = \frac{4}{\pi} I_o$$

- 負荷抵抗RLと交流抵抗Reの関係

$$R_e = \frac{V_{b1}}{I_{b1}} = \frac{\frac{\pi}{2} V_o}{4\pi I_o} = \frac{\pi^2}{8} \frac{V_o}{I_o} = \frac{\pi^2}{8} R_L$$

2008/12/17

応用電力変換工学

50

並列共振形コンバータ

- 入出力電圧の比

$$V_s = \frac{\pi}{4} V_{a1}$$

$$V_o = \frac{2}{\pi} V_{b1}$$

$$\frac{V_o}{V_s} = \frac{\frac{2}{\pi} V_{b1}}{\frac{\pi}{4} V_{a1}} = \frac{8}{\pi^2} \frac{V_{b1}}{V_{a1}} = \frac{8}{\pi^2} \frac{1}{1 - \frac{X_L}{X_C} + j \frac{X_L}{R_e}}$$

- 実数化して

$$\left| \frac{V_o}{V_s} \right| = \frac{8}{\pi^2} \frac{1}{\sqrt{\left(1 - \frac{X_L}{X_C}\right)^2 + \frac{X_L^2}{R_e^2}}}$$

- 直列共振型の方が出力電圧高い
- Qによって、入出力電圧比最大値が変わる

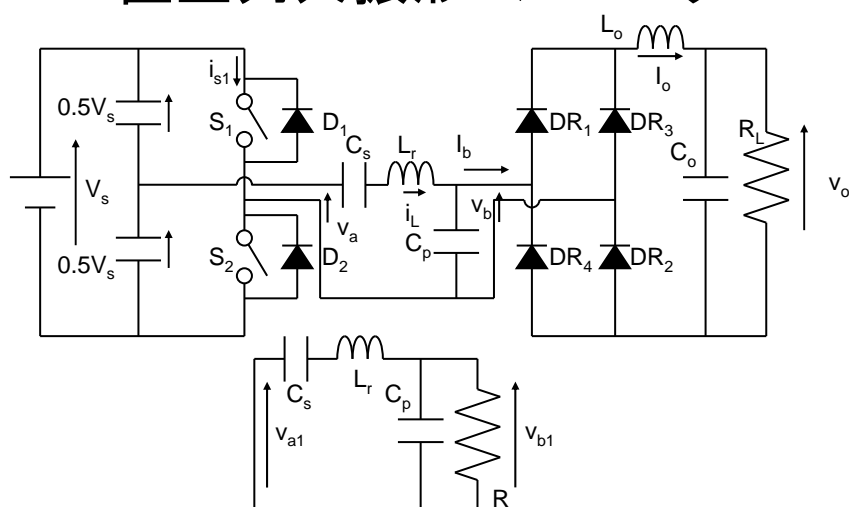
$$Q = \frac{R_L}{\omega L_r}$$

2008/12/17

応用電力変換工学

51

直並列共振形コンバータ



2008/12/17

応用電力変換工学

52

直並列共振形コンバータ

- 回路条件

- 整流器部以降は並列共振形とおなじ
- スイッチング周波数成分 ω を考える
 - 共振部の入出力電圧比

$$\begin{aligned}
 V_{a1} &= I_{a1} \left(-jX_{Cs} + jX_L + \frac{1}{\frac{1}{-jX_{Cp}} + \frac{1}{R_e}} \right) \\
 V_{b1} &= V_{a1} - I_{a1} (-jX_{Cs} + jX_L) \\
 &= V_{a1} - (-jX_{Cs} + jX_L) \frac{V_{a1}}{-jX_{Cs} + jX_L + \frac{1}{\frac{1}{-jX_{Cp}} + \frac{1}{R_e}}} \\
 &= V_{a1} \frac{-(-jX_{Cs} + jX_L) - jX_{Cs} + jX_L + \frac{1}{\frac{1}{-jX_{Cp}} + \frac{1}{R_e}}}{-jX_{Cs} + jX_L + \frac{1}{\frac{1}{-jX_{Cp}} + \frac{1}{R_e}}} \\
 &= V_{a1} \frac{\frac{1}{\frac{1}{-jX_{Cp}} + \frac{1}{R_e}}}{-jX_{Cs} + jX_L + \frac{1}{\frac{1}{-jX_{Cp}} + \frac{1}{R_e}}} = V_{a1} \frac{1}{j(-X_{Cs} + X_L) \left(\frac{1}{\frac{1}{-jX_{Cp}} + \frac{1}{R_e}} \right) + 1}
 \end{aligned}$$

2008/12/17

応用電力変換工学

$$\begin{aligned}
 \frac{V_{b1}}{V_{a1}} &= \frac{1}{j(-X_{Cs} + X_L) \left(\frac{1}{\frac{1}{-jX_{Cp}} + \frac{1}{R_e}} \right) + 1} \\
 &= \frac{1}{1 + \frac{X_{Cs} - X_L}{X_{Cp}} + j \frac{-X_{Cs} + X_L}{R_e}} \\
 V_s &= \frac{\pi}{4} V_{a1} \\
 V_o &= \frac{2}{\pi} V_{b1}
 \end{aligned}$$



53

直並列共振形コンバータ

- 回路条件

- 整流器部以降は並列共振形とおなじ
- スイッチング周波数成分 ω を考える
 - 共振部の入出力電圧比

$$\begin{aligned}
 \frac{V_o}{V_s} &= \frac{\frac{2}{\pi} V_{b1}}{\frac{\pi}{4} V_{a1}} = \frac{8}{\pi^2} \frac{V_{b1}}{V_{a1}} = \frac{8}{\pi^2} \frac{1}{1 + \frac{X_{Cs} - X_L}{X_{Cp}} + j \frac{-X_{Cs} + X_L}{R_e}} \\
 \left| \frac{V_o}{V_s} \right| &= \frac{8}{\pi^2} \frac{1}{\sqrt{\left(1 + \frac{X_{Cs} - X_L}{X_{Cp}} \right)^2 + \left(\frac{-X_{Cs} + X_L}{R_e} \right)^2}} \\
 &= \frac{8}{\pi^2} \frac{1}{\sqrt{\left(1 + \frac{C_p}{C_s} - \omega^2 L C_p \right)^2 + \left(\frac{\omega L}{R_e} - \frac{1}{\omega C_s R_e} \right)^2}}
 \end{aligned}$$

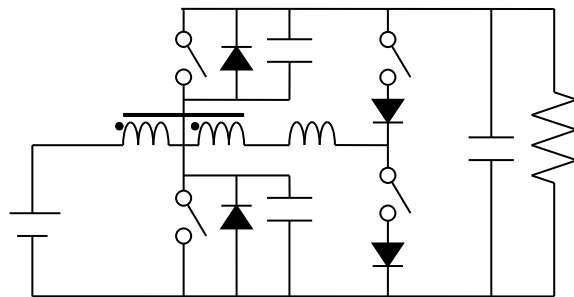
2008/12/17

応用電力変換工学

54

課題

- 動作を解析せよ



2008/12/17

応用電力変換工学

55